

УДК 629.7.023:539.3

## ИССЛЕДОВАНИЕ НЕЛИНЕЙНОГО ДЕФОРМИРОВАНИЯ И УСТОЙЧИВОСТИ ДИСКРЕТНО ПОДКРЕПЛЕННЫХ ЭЛЛИПТИЧЕСКИХ ЦИЛИНДРИЧЕСКИХ ОБОЛОЧЕК ПРИ ПОПЕРЕЧНОМ ИЗГИБЕ

Л. П. Железнов, В. В. Кабанов, Д. В. Бойко

Сибирский научно-исследовательский институт авиации им. С. А. Чаплыгина,  
630051 Новосибирск  
E-mail: lev@wsr.ru

Рассматривается конечно-элементный метод решения задач нелинейного деформирования и устойчивости неравномерно дискретно подкрепленных некруговых цилиндрических оболочек. Разработан эффективный компьютерный алгоритм исследования оболочек. Изучена устойчивость стрингерной цилиндрической оболочки с эллиптическим контуром поперечного сечения при поперечном изгибе. Определено влияние на устойчивость оболочки эллиптичности, нелинейности деформирования оболочки на докритической стадии, дискретности и неоднородности подкреплений.

**Ключевые слова:** эллиптические цилиндрические оболочки, изгиб поперечной силой, нелинейное деформирование, устойчивость, метод конечных элементов.

Рассматривается дискретно подкрепленная продольным набором ребер (стрингерами) некруговая цилиндрическая оболочка, находящаяся под действием поперечной силы  $Q$  (рис. 1). Разобьем оболочку линиями главных кривизн по образующей на  $m$  частей, а по направляющей на  $n$  частей. Таким образом, представим оболочку в виде набора  $m \times n$  криволинейных прямоугольных конечных элементов (КЭ).

**Алгоритм решения задачи.** КЭ для неподкрепленных оболочек разработаны в [1], для стрингеров — в [2]. Используя эти элементы, решаем задачу вариационным методом

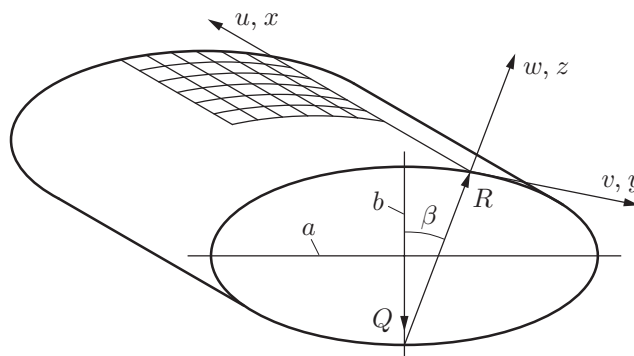


Рис. 1. Схема оболочки

конечных элементов в перемещениях. Запишем вариационное уравнение Лагранжа для элемента подкрепленной оболочки

$$\delta\Pi = \delta W + \delta W_p - \delta V = 0,$$

где  $V$  — работа внешних сил;  $\delta$  — знак вариации;  $W$  — потенциальная энергия деформации неподкрепленной оболочки [1];  $W_p = \frac{1}{2} \int_{l_p} \mathbf{T}_p^T \mathbf{e}_p dl_p$  — потенциальная энергия деформации

подкреплений;  $\mathbf{T}_p = \{T_p, M_{px}, M_{pz}, M_{py}\}^T$  — вектор внутренних усилий и моментов;  $\mathbf{e}_p = \{\varepsilon_p, \chi_{px}, \chi_{pz}, \chi_p\}^T$  — вектор деформаций и изменений кривизн элементов подкреплений [2].

Варьируя по узловым перемещениям КЭ, имеем систему нелинейных алгебраических уравнений относительно узловых перемещений КЭ. Учитывая условия совместности узловых перемещений элементов и граничные условия, получаем систему нелинейных алгебраических уравнений относительно узловых перемещений всех конечных элементов оболочки

$$K\mathbf{u}' - \mathbf{Q} = 0, \quad (1)$$

где  $K$  — матрица жесткости оболочки, элементы которой получаются суммированием элементов матриц жесткостей отдельных КЭ с использованием матрицы индексов [3];  $\mathbf{Q}$  — вектор обобщенных узловых сил оболочки;  $\mathbf{u}'$  — вектор узловых перемещений оболочки. Система (1) решается с использованием метода Ньютона — Канторовича [4], уравнение которого можно записать в виде

$$H(\mathbf{u}'_n)\Delta = \mathbf{Q} - \mathbf{G}, \quad \mathbf{u}'_{n+1} = \mathbf{u}'_n + \Delta, \quad (2)$$

где  $H$  — гессиан оболочки, элементами которого являются элементы второй вариации потенциальной энергии деформации подкрепленной оболочки;  $\mathbf{G}$  — градиент потенциальной энергии деформации. Решение системы (2) получаем шаговым методом по нагрузке с использованием разложения матрицы Гессе  $L^T DL$  на диагональную и две треугольные матрицы.

Определив узловые перемещения, найдем все компоненты напряженно-деформированного состояния оболочки по формулам, полученным в работе [5]. Критическая нагрузка определяется либо как предельная по расходимости итерационного процесса при резком возрастании перемещений в отдельных узлах конечно-элементной сетки, либо как бифуркационная с использованием энергетического критерия устойчивости, согласно которому равновесное состояние устойчиво при  $\delta^2\Pi > 0$ . Для выполнения этого условия необходимо, чтобы гессиан  $H$  был положителен или были положительны все диагональные элементы матрицы  $D$  в разложении матрицы Гессе  $L^T DL$ .

**Результаты исследований.** Рассмотрим консольно заземленную ( $v = w = dw/dx = 0$ ) неравномерно дискретно подкрепленную набором стрингеров эллиптическую цилиндрическую оболочку, находящуюся под действием вертикальной поперечной силы  $Q$ , приложенной к свободному краю этой оболочки. С нагруженной стороны оболочка подкреплена шпангоутом с большой жесткостью на изгиб в своей плоскости. Действие поперечной силы заменим статически эквивалентными ей касательными усилиями  $T_{xy} = QS/J$ , где  $S$  — статический момент отсеченной части поперечного сечения;  $J$  — момент инерции поперечного сечения оболочки относительно оси  $a$ . С учетом симметрии оболочки и нагрузки рассматривалась половина оболочки, которая разбивалась конечно-элементной сеткой размером  $m \times n = 14 \times 160$ , что обеспечивало сходимость решения по числу конечных элементов.

Уравнение эллипса и выражение для радиуса его кривизны имеют вид

$$z^2/b^2 + y^2/a^2 = 1, \quad R = a^2 b^2 / d^3, \quad (3)$$

где  $d^2 = a^2 \sin^2 \beta + b^2 \cos^2 \beta$ .

Рассмотрим оболочку при заданных значениях отношений длин полуосей эллипса  $\bar{b} = b/a$ ,  $\bar{a} = a/b$  и эквипериметрического радиуса

$$R_0 = \frac{P}{2\pi} = \frac{2a}{\pi} \int_0^{\pi/2} \{1 - [1 - (\bar{b})^2] \sin^2 \psi\}^{1/2} d\psi = \frac{2a}{\pi} E\left(\frac{\pi}{2}, \bar{b}\right) \approx \frac{a}{2} \left[ \frac{3}{2} (1 + \bar{b}) - \sqrt{\bar{b}} \right].$$

Здесь  $P$  — периметр поперечного сечения;  $a, b$  — длины полуосей эллипса;  $E(\pi/2, \bar{b})$  — полный эллиптический интеграл второго рода. Длина оболочки  $L = 1000$  мм, толщина  $h = 2$  мм,  $R_0 = 1900$  мм, модуль упругости  $E = 7 \cdot 10^4$  МПа, коэффициент Пуассона  $\nu = 0,3$ . Площадь поперечного сечения стрингеров при равномерном подкреплении  $F_c = 100$  мм<sup>2</sup>, собственный момент инерции  $J_c = 3333$  мм<sup>4</sup>, расстояние между стрингерами  $d_c = 150$  мм, эксцентриситет  $e_c = 11$  мм.

**Равномерное подкрепление.** Результаты компьютерного исследования эквипериметрических (с одинаковыми периметрами) оболочек представлены на рис. 2, а. Приняты следующие обозначения:  $k_\tau = Q^*/Q_0$ ,  $Q^*$  — критические значения поперечной силы,  $Q_0 = 3R_0S_b$  — критические значения поперечной силы для неподкрепленной круговой цилиндрической оболочки ( $S_b = 0,74Eh/(1 - \nu^2)^{5/8}(h/R_0)^{5/4}(R_0/L)^{1/2}$ ).

Учет дискретности расположения стрингеров приводит к значительному уменьшению критических нагрузок, поскольку в этом случае первые критические нагрузки соответствуют местной (панельной, между стрингерами) потере устойчивости. При этом стрингеры сохраняют прямолинейную форму. Общая (со стрингерами) потеря устойчивости получена с помощью метода редуцирования потерявшей устойчивость панели с использованием конструктивно-ортотропной схемы. Коэффициент редукиции принимался равным 0,7. Редуцирование приводит к уменьшению критических нагрузок общей потери устойчивости по конструктивно-ортотропной теории в 1,2 ÷ 1,5 раза. В отличие от круговых ( $\bar{a} = 1$ ) эквипериметрических оболочек широкие ( $\bar{b} < 1$ ) оболочки в весовом отношении невыгодны, поскольку их критические силы значительно (при  $\bar{b} = 0,4$  — в 1,5 раза) меньше критических сил круговых оболочек. Узкие оболочки выгоднее круговых оболочек, поскольку

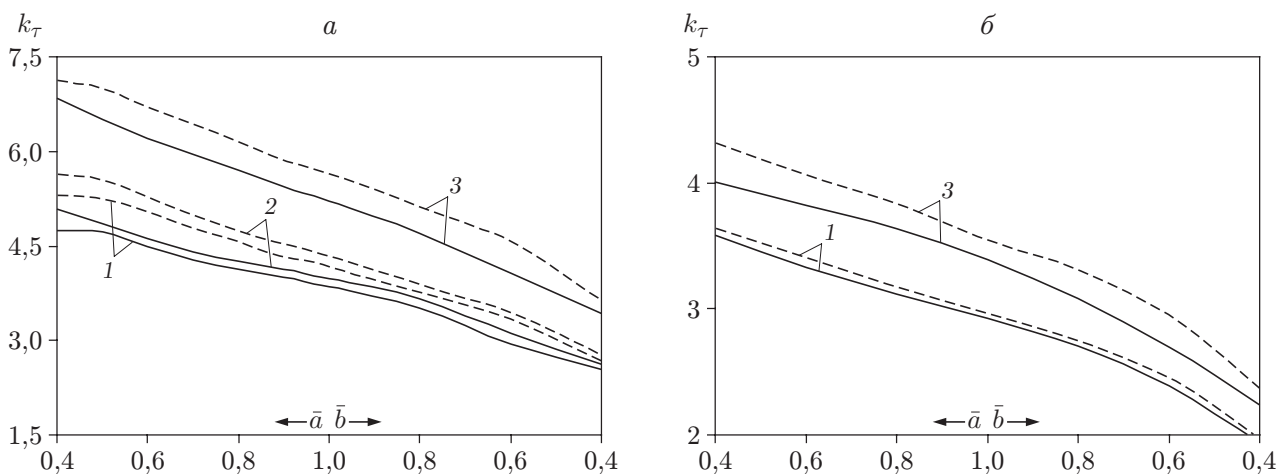


Рис. 2. Зависимость параметра  $k_\tau$  от параметров  $\bar{a}$  и  $\bar{b}$  в случае нелинейного (сплошные линии) и линейного (штриховые) напряженно-деформированных состояний:

1 — дискретно подкрепленная оболочка, 2 — редуцированная конструктивно-ортотропная оболочка, 3 — нередуцированная конструктивно-ортотропная оболочка

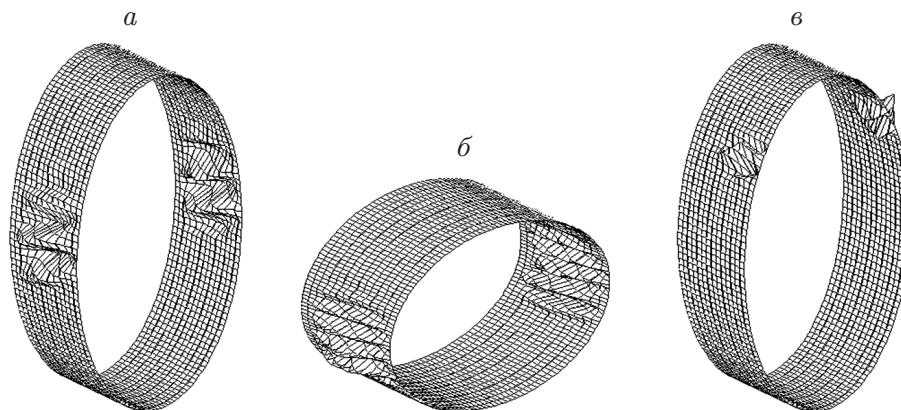


Рис. 3. Различные формы потери устойчивости оболочек:

*a, б* — равномерное подкрепление, *в* — неравномерное подкрепление

при  $\bar{a} = 0,6$  их критические силы в 1,3 раза меньше критических сил круговых оболочек. Вследствие нелинейности деформирования критическая сила уменьшается.

**Неравномерное подкрепление.** Исследуем оболочку с неравномерным по направляющей расположением стрингеров различной жесткости. В верхней и нижней частях оболочки (сэктора с углом  $90^\circ$ ) расположены “сильные” стрингеры с  $F_c = 150 \text{ мм}^2$ ,  $J_c = 5000 \text{ мм}^4$ ,  $e_c = 11 \text{ мм}$ . На боковых частях оболочки (сэктора с углом  $90^\circ$ ) расположены “слабые” стрингеры с  $F_c = 50 \text{ мм}^2$ ,  $J_c = 1667 \text{ мм}^4$ ,  $e_c = 11 \text{ мм}$ . Общий вес стрингеров при однородном и неоднородном подкреплении сохранен постоянным.

На рис. 2, *б* показаны зависимости  $k_\tau$  от параметров эллиптичности оболочки  $\bar{a}$  и  $\bar{b}$ . Качественное различие этих зависимостей и зависимостей для однородно подкрепленных оболочек незначительно, а количественное их различие существенно. Различие критических значений поперечной силы при неоднородном и однородном распределениях стрингеров составляет  $10 \div 25 \%$ .

На рис. 3 представлены типичные формы потери устойчивости оболочек. Наблюдаются как местные, так и общие формы потери устойчивости оболочек. При местной потере устойчивости образуются мелкие вмятины и выпучины, при общей — наблюдается ромбовидное волнообразование.

## ЛИТЕРАТУРА

1. Железнов Л. П., Кабанов В. В. Исследование нелинейного деформирования и устойчивости некруговых цилиндрических оболочек при осевом сжатии и внутреннем давлении // ПМТФ. 2002. Т. 43, № 4. С. 155–160.
2. Мяченков В. И. Расчеты машиностроительных конструкций методом конечных элементов: Справ. / В. И. Мяченков, В. П. Мальцев, В. П. Майборода и др. М.: Машиностроение, 1989.
3. Постнов В. А. Метод конечных элементов в расчетах судовых конструкций / В. А. Постнов, И. Я. Хархурим. Л.: Судостроение, 1974.
4. Канторович Л. В. Функциональный анализ в нормированных пространствах / Л. В. Канторович, Г. П. Акилов. М.: Физматгиз, 1959.
5. Григолюк Э. И. Устойчивость оболочек / Э. И. Григолюк, В. В. Кабанов. М.: Наука, 1978.